

## ИССЛЕДОВАНИЕ СВОЙСТВ ОГРАНИЧЕННЫХ ГИПЕРГЕОМЕТРИЧЕСКИХ ЛАЗЕРНЫХ ПУЧКОВ

С.Н. Хонина<sup>1,2</sup>, С.А. Балалаев<sup>2</sup>

<sup>1</sup> Институт систем обработки изображений РАН, Самара, Россия,

<sup>2</sup> Самарский государственный аэрокосмический университет имени академика С.П. Королева, Самара, Россия

### Аннотация

Проведено компьютерное моделирование распространения ограниченных обобщенных гипергеометрических пучков. Исследованы возможности формирования гипергеометрических пучков методами дифракционной оптики. Выполнено сравнение с ограниченными гипергеометрическими модами.

Ключевые слова: обобщенный гипергеометрический пучок, гипергеометрическая мода, дифракционный оптический элемент.

### Введение

Новый тип световых мод – гипергеометрические (ГГ) моды недавно был представлен в работе [1]. ГГ-моды, как и моды Бесселя, обладают бесконечной энергией, следовательно, на практике их можно сформировать только приближенно и на конечном расстоянии.

Обобщение этих мод с добавлением гауссовой составляющей рассмотрено в работах [2-3]. Таким образом вводится понятие ГГ-пучков [3], энергия которых ограничена, но сами пучки теряют модовые свойства, сохраняя винтовую фазовую сингулярность.

Пучки с винтовой фазовой сингулярностью часто используют для передачи орбитального углового момента микрочастицам при оптическом манипулировании [4-7]. При этом, как правило, используются классические моды Гаусса-Лагерра, Бесселевы моды и чистые оптические вихри. Трехпараметрическое семейство ГГ-пучков [3] в отличие от указанных мод имеет больше параметров, позволяющих варьировать распределение интенсивности пучка в соответствии с нуждами микроманипулирования [8].

В данной работе проведено исследование возможности формирования гипергеометрических пучков методами дифракционной оптики. Также проведено сравнение их с ограниченными апертурой ГГ-модами.

### 1. Обобщенные гипергеометрические пучки

Обобщенные гипергеометрические лазерные пучки (ОГГ-пучки), рассмотренные в работе [3], представляют собой трехпараметрическое семейство функций. Они являются обобщением гипергеометрических мод [1] и двухпараметрических гипергеометрических пучков [9].

ОГГ-пучки имеют во входной плоскости ( $z=0$ ) следующий вид:

$$E_{\gamma,n,m}(r, \varphi) = \frac{1}{2\pi} \left(\frac{r}{w}\right)^m \exp\left(-\frac{r^2}{2\sigma^2}\right) \times \exp\left(i\gamma \ln \frac{r}{w} + in\varphi\right), \quad (1)$$

где  $(r, \varphi)$  – полярные координаты входной плоскости,  $w$  и  $\gamma$  – действительные параметры логарифмического аксикона,  $\sigma$  – радиус перетяжки гауссова пучка,  $n$  – целый порядок спиральной фазовой сингулярности (топологический заряд),  $m$  – целое число.

Комплексная амплитуда (1) описывает световое поле с бесконечной энергией и с особенностью при  $r=0$  и  $m < 0$ . Однако при распространении в любой другой поперечной плоскости на расстоянии  $z$  от входной плоскости комплексная амплитуда уже не будет иметь особенности и будет конечной.

Преобразование Френеля от комплексной амплитуды (1) имеет следующий вид [3]:

$$E_{\gamma,n,m}(\rho, \theta, z) = \frac{(-i)^{n+1}}{2\pi n!} \left(\frac{z_0}{zq^2}\right) \left(\frac{\sqrt{2}\sigma}{wq}\right)^{m+i\gamma} \times \exp\left(\frac{k\sigma\rho^2}{2z} + in\theta\right) \Gamma\left(\frac{n+m+2+i\gamma}{2}\right) \times {}_1F_1\left[\frac{n+m+2+i\gamma}{2}, n+1, -\left(\frac{k\sigma\rho}{\sqrt{2}qz}\right)^2\right], \quad (2)$$

где  $(\rho, \theta)$  – полярные координаты в плоскости на расстоянии  $z$  от входной,  $k=2\pi/\lambda$  – волновое число,  $\lambda$  – длина волны,  $z_0 = k\sigma^2$ ,  $q = (1 - iz_0/z)^{1/2}$ ;  $\Gamma(x)$  – гамма функция;  ${}_1F_1(a, b; x)$  – вырожденная (или конфлюэнтная) гипергеометрическая функция [10]:

$${}_1F_1(a, b, x) = \frac{\Gamma(b)}{\Gamma(a)\Gamma(b-a)} \int_0^1 t^{a-1} (1-t)^{b-a-1} \exp(xt) dt. \quad (3)$$

Выражение (3) может также быть записано в виде ряда Тейлора (функция Куммера):

$${}_1F_1(a, b, x) = \sum_{m=0}^{\infty} \frac{(a)_m x^m}{(b)_m m!}, \quad (4)$$

где  $(a)_m = a(a+1)(a+2)\dots(a+m-1)$  – символ Похгаммера,  $(a)_0 = 1$ .

В выражениях (2) и (3) используется гамма функция для вещественного аргумента:

$$\Gamma(x) = \int_0^{\infty} t^{x-1} e^{-t} dt. \quad (5)$$

При  $\gamma=0$  и  $m=0$  во входной плоскости будет поле:

$$E_{0n0}(r, \varphi) = \frac{1}{2\pi} \exp\left(-\frac{r^2}{2\sigma^2}\right) \exp(in\varphi), \quad (6)$$

распространение которого описано как дифракция гауссового пучка на спиральной фазовой пластинке [11, 12].

При  $\sigma \rightarrow \infty$  (гауссовый пучок заменяется плоской волной) из (6) получаются оптические чистые вихри, описанные в [13].

При  $m = -1$  и  $\sigma \rightarrow \infty$  во входной плоскости будет поле:

$$E_{\gamma,n,-1}(r, \varphi) = \frac{1}{2\pi} \left(\frac{r}{w}\right)^{-1} \exp\left(i\gamma \ln \frac{r}{w} + in\varphi\right), \quad (7)$$

формирующее ГГ-моды [1].

### 2. Реализация ГГ-мод

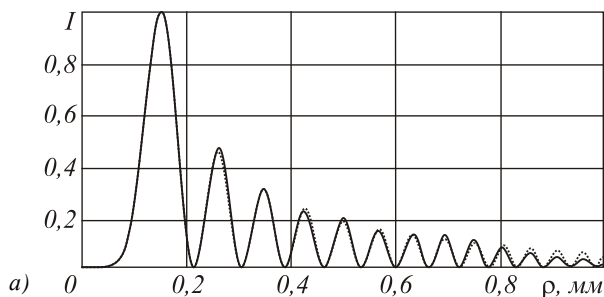
В [1] получено аналитическое решение параксиального волнового уравнения, названное ГГ-модами:

$$E_m(r, \varphi, z) = \frac{1}{2\pi n!} \left(\frac{2z}{kw^2}\right)^{i\gamma-1} \times \exp\left[-\frac{i\pi}{4}(n-i\gamma+1)\right] \left(\frac{kr^2}{2z}\right)^{n/2} \Gamma\left(\frac{n+i\gamma+1}{2}\right) \times, \quad (8)$$

$$\times {}_1F_1\left(\frac{n+1-i\gamma}{2}, n+1; \frac{ikr^2}{2z}\right) \exp(in\varphi),$$

принимающее при  $z=0$  вид (7).

Формирование ГГ-мод с помощью средств дифракционной оптики непростая задача. Во-первых, эти моды, аналогично модам Бесселя, являются бесконечными и при их реализации неизбежно ограничение апертурой.



Во-вторых, амплитуда ГГ-мод при  $z=0$  имеет особенность в нуле (неограниченно возрастает при  $r = 0$ ), таким образом, необходимо также вырезание центральной области.

Поэтому на практике, чтобы сформировать ГГ-моду, световое поле (1) следует ограничить кольцевой диафрагмой с радиусами  $R_1$  и  $R_2$  ( $R_1 < R_2$ ), как показано на рис. 1.

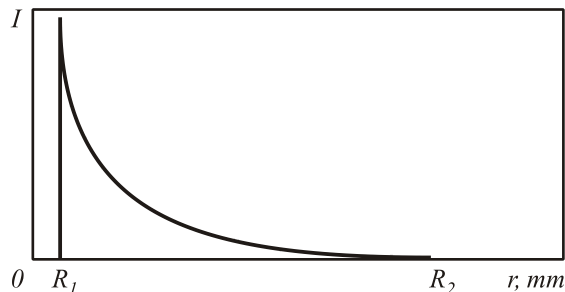


Рис. 1. Ограничение кольцевой апертурой радиального распределения интенсивности ГГ-моды во входной плоскости

Однако такое ограничение апертуры начального поля при некоторых параметрах приводит к заметным искажениям ГГ-моды. На рис. 2 показан вид радиального распределения интенсивности поля (7), прошедшего расстояние  $z = 100$  мм и его ограниченное апертурой аналога.

При следующих параметрах расчета:  $\lambda=532$  нм,  $R_1 = 0,05$  мм,  $R_2 = 1$  мм,  $w = 1$  мм, число отсчетов  $N = 512$ ; параметры ГГ-моды:  $n = 4$ ,  $\gamma = -10$ , среднеквадратичное отклонение точной интенсивности, полученной на основе ур. (2), от рассчитанной с учетом ограниченной апертуры на расстоянии  $z = 100$  мм составляет 4,1%, а на расстоянии  $z = 200$  мм – 11,8%.

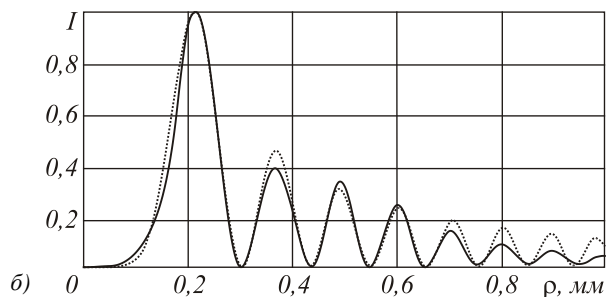


Рис. 2. Радиальное распределение интенсивности ГГ-моды ( $\gamma, n$ ):  $(-10, 4)$  при  $z = 100$  мм (а) и  $z = 200$  мм (б): аналитический вид ГГ-моды (точечная кривая) и рассчитанный после ограничения апертурой (сплошная кривая)

Таким образом, с ростом расстояния погрешность увеличивается. Это связано с тем, что аналогично ограниченным Бесселевым пучкам ограниченные ГГ-моды сохраняют свои модовые свойства до некоторого расстояния [14].

### 3. Определение зависимости сохранения модовых свойств

В [1] было показано, что это расстояние пропорционально следующей величине:

$$z_{\max} = \frac{R_2}{\text{ctg}(\gamma/R_2)}. \quad (9)$$

Из этой формулы (8) следует, что при

$$R_{\max} = \frac{2\gamma}{\pi(2n+1)} \quad (10)$$

расстояние (9) принимает бесконечное значение. Однако это не так и пучок все равно теряет свои модовые свойства, начиная с некоторого расстояния.

Данный раздел посвящен эмпирическому определению этой зависимости от параметров лазерного излучения, оптического элемента и модовых параметров.

Моделировать распространение светового поля (7) для конечной апертуры можно, используя преобразование Ханкеля  $n$ -го порядка:

$$F_n(\rho, \theta, z) = \frac{k}{z} \exp(in\theta) \exp(ikz) \exp\left(\frac{ik\rho^2}{2z}\right) \times \int_0^\infty P(r) \exp\left(\frac{ikr^2}{2z}\right) J_n\left(\frac{kr\rho}{z}\right) r dr, \quad (11)$$

где  $J_n(r)$  – функция Бесселя первого рода  $n$ -го порядка,  $P(r)$  – радиальная составляющая поля (7).

Параметры расчета были выбраны следующие:  $R_2 = 4$  мм, число точек дискретизации 1024.

Сравнение полученных распределений интенсивности на расстоянии  $z = 1000$  мм при различных значениях параметра  $\gamma$  приведено на рис. 3, а для различных значений параметра  $n$  – на рис. 4.

Для приведенных параметров отличие аналитического решения от численного для радиального сечения интенсивности не превышает 4,5%.

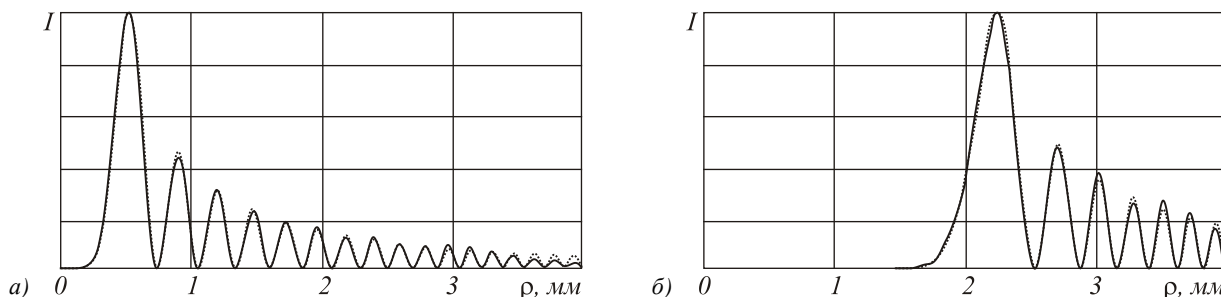


Рис. 3. Радиальное сечение интенсивности для ГГ-мод ( $\gamma, n$ ): а)  $(-10, 4)$  и б)  $(10, 4)$  на расстоянии вдоль оси распространения  $z = 1000$  мм (точечная линия – аналитическое решение, сплошная – преобразование Ханкеля)

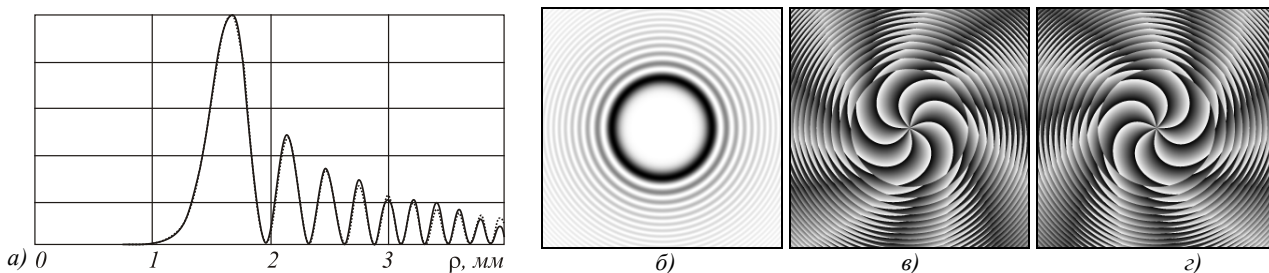


Рис. 4. ГГ-моды ( $\gamma, n$ ):  $(3, -7)$  и  $(3, 7)$  на расстоянии вдоль оси распространения  $z = 1000$  мм а) радиальное сечение интенсивности (точечная линия – аналитическое решение, сплошная – преобразование Ханкеля), б) инвертированное распределение интенсивности, в) распределение фазы для моды  $(3, -7)$ , г) распределение фазы для моды  $(3, 7)$

На рис. 3 и 4 хорошо видна зависимость радиуса центрального кольца в поперечном сечении пучка от модовых параметров  $\gamma$  и  $n$ . При этом важен как модуль, так и знак параметра  $\gamma$ : Как видно из рис. 3, изменение знака существенно влияет на радиус основного кольца пучка. В то время как знак номера винтовой фазовой сингулярности  $n$  влияет лишь на ориентацию спирального рисунка фазы, распределение интенсивности при этом совершенно не меняется.

В работе [15] было сделано предположение, что зависимость расстояния сохранения модовых свойств имеет характер, аналогичный Бесселевым модам:

$$z_{\max} \sim \frac{kR_2}{|\gamma|}. \quad (12)$$

Однако серия численных экспериментов показала, что поведение ГГ-мод также зависит от знака параметра  $\gamma$ .

На рисунках 5-8 показаны графики расстояния  $z_c$ , до которого в поперечной картине интенсивности пучка сохраняется хорошо выраженное центральное кольцо (в частности, периферийные кольца имеют интенсивность ниже, чем у центрального кольца) в зависимости от различных значений исследуемых параметров. Сохранение четко выраженного первого кольца представляет особый интерес в задачах оптического микроуправления [8], и данный критерий можно использовать для оценки сохранения структуры пучка, даже если среднеквадратичная погрешность существенна.

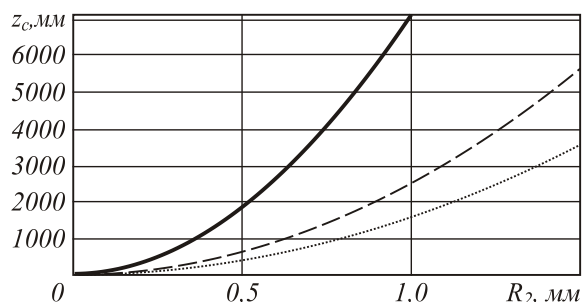


Рис. 5. Зависимость  $z_{\max}$  от радиуса апертуры  $R_2$  для ГГ-моды ( $\gamma, n$ ):  $(-5,4)$  – сплошная линия,  $(-7,4)$  – пунктирная линия,  $(-10,4)$  – точечная линия

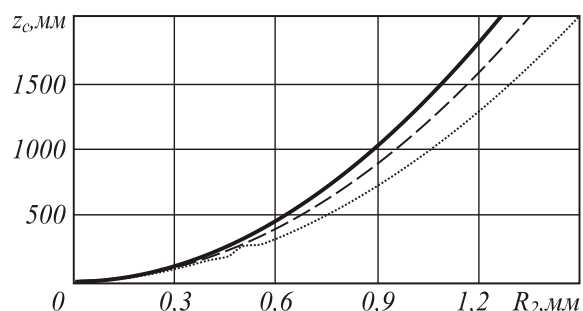


Рис. 6. Зависимость  $z_{\max}$  от радиуса апертуры  $R_2$  для ГГ-моды ( $\gamma, n$ ):  $(5,4)$  – сплошная линия,  $(7,4)$  – пунктирная линия,  $(10,4)$  – точечная линия

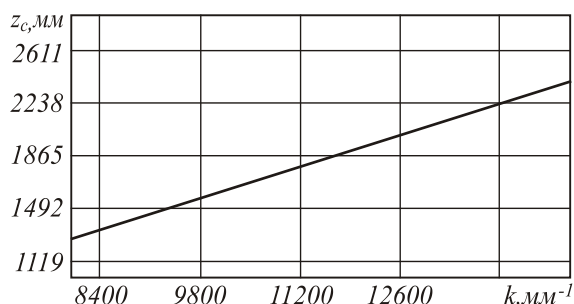


Рис. 7. Зависимость  $z_c$  от волнового числа  $k$

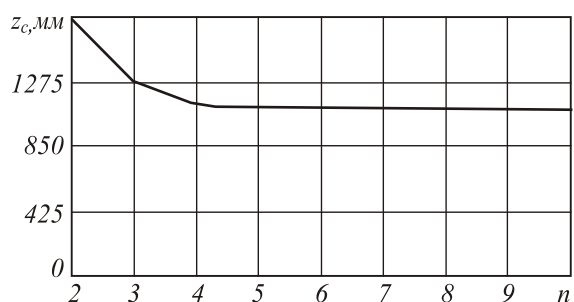


Рис. 8. Зависимость  $z_c$  от номера сингулярности  $n$

Из графиков 5 и 6 легко видеть квадратичную зависимость  $z_c$  от радиуса апертуры  $R_2$  и обратную степенную от  $|\gamma|$ .

Причем характер зависимости для отрицательных и положительных значений параметра  $\gamma$  сильно отличается. График на рис. 7 демонстрирует линейную зависимость от волнового числа  $k$ , а рис. 8 показывает, что зависимости от номера сингулярности  $n$  фактически не имеется.

На основании приведенных выше рассуждений и подбора параметров по имеющимся данным была получена следующая формула для расстояния сохранения явно выраженного центрального кольца (при  $R_2 < 1,5$  мм):

$$z_c \sim \begin{cases} c_1 k R_2^2 / |\gamma|^{\alpha_1}, & \gamma > 0, \\ c_2 k R_2^2 / |\gamma|^{\alpha_2}, & \gamma < 0, \end{cases} \quad (13)$$

где  $\alpha_1 \approx 0,5$ ,  $c_1 \approx 0,25$ ,  $\alpha_2 \approx 2,3$ ,  $c_2 \approx 25$ .

Любопытно отметить, что пучки с отрицательными, но небольшими по абсолютному значению параметрами  $\gamma$  существенно дольше сохраняют свои модовые свойства.

По формуле (13) расстояние сохранения центрального кольца ограниченной ГГ-моды из раздела 2 (длина волны  $\lambda=532$  нм,  $R_2 = 1$  мм,  $n = 4$ ,  $\gamma = -10$ ) составляет  $z_c \sim 1500$  мм, в то время как по формуле (12) расстояние сохранения модовых свойств несколько меньше  $z_{\max} \sim 1180$  мм.

Таким образом, несмотря на то, что уже при  $z=200$  мм погрешность составила около 12%, четко выраженное центральное кольцо сохраняется гораздо дольше.

На рис. 9 показано распространение ГГ-мод (длина волны  $\lambda=532$  нм,  $R_2 = 4$  мм,  $n = 4$ ,  $\gamma = \pm 10$ ) с противоположными знаками параметра  $\gamma$ , выполненное с помощью преобразования Ханкеля. Чтобы основное кольцо входило в поле зрения, радиус рассматриваемой картины  $R_0$  увеличивался по мере увеличения расстояния  $z$ .

Как видно из рисунка 8, оценка (13) здесь дает неправильный результат: для  $\gamma = -10$  получается  $z_c \sim 24000$  мм, на самом же деле структура уже разрушена при  $z = 20000$  мм, для  $\gamma = 10$  получается  $z_c \sim 15000$  мм, на самом же деле центральное кольцо все еще достаточно выражено при  $z = 20000$  мм.

Видимо, при значениях радиуса  $R_2 > 1,5$  мм зависимость становится несколько иная, чем полученная в (13).

Интересно отметить динамику изменений ГГ-мод с противоположными знаками параметра  $\gamma$ . В зоне дифракции Френеля центральные кольца пучков имеют значительно различающийся диаметр – меньший для отрицательного  $\gamma$ . Затем, при распространении их поперечные сечения становятся все более схожими, пока в дальней зоне не будут совершенно идентичными по распределению интенсивности.

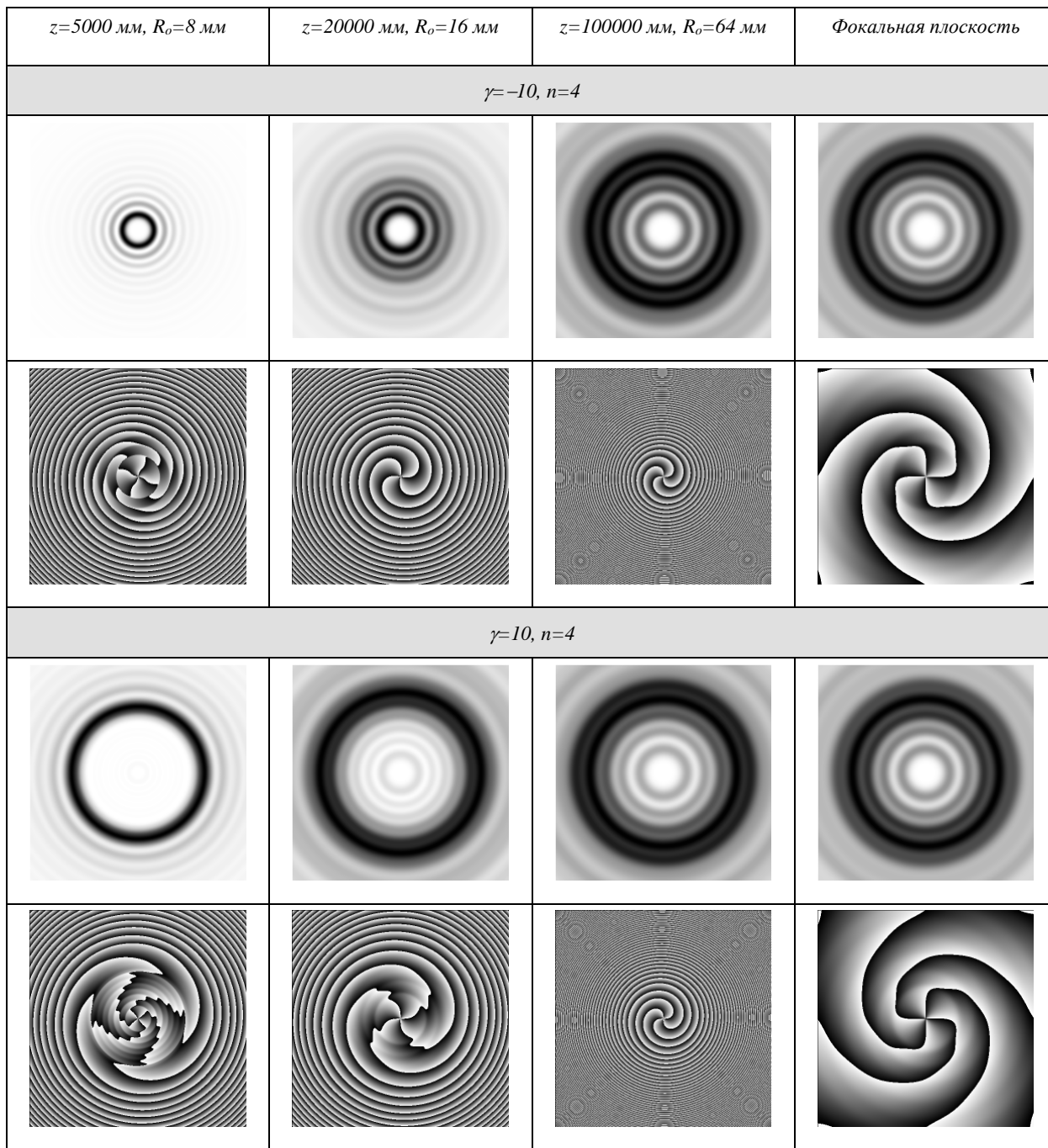


Рис. 9. Сравнение распространения ГГ-мод с противоположными знаками параметра  $\gamma$

**4. Сравнение дифракционных свойств ограниченных ГГ-мод и ОГГ-пучков**

Как следует из раздела 1, ГГ-моды являются частным случаем ОГГ-пучков при  $m = -1$  и  $\sigma \rightarrow \infty$  (см. формулу (7)). Однако при формировании ГГ-мод неизбежно приходится сталкиваться с их ограниченными аналогами. В частности, в разделах 2 и 3 было рассмотрено ограничение поперечно бесконечного входного поля апертурой. В этом разделе проводится сравнение такого ограничения с наложением гауссовой функции, т.е. с ОГГ-пучком при  $m = -1$  и  $\sigma = \text{const}$ .

На рис. 10 приведено сравнение распространения ОГГ-пучков и ограниченных ГГ-мод. Параметры расчетов такие же, как в разделе 3, радиус гауссового пучка  $\sigma$  выбран так, чтобы размеры основного кольца пучков совпадали на расстоянии  $z=1000$  мм.

Как видно из двух первых строк рис. 10, несмотря на существенные значения среднеквадратичного отклонения ограниченной ГГ-моды от ее аналитического вида, структура пучка сохраняется вплоть до  $z=10000$  мм, что составляет 1250 входных апертур. При этом ОГГ-пучок с аналогичными параметрами разрушается значительно быстрее – уже при

$z=2000$  мм, что составляет 250 входных апертур. Согласование численных результатов с теоретическими для ОГГ-пучков очень хорошее – погрешность не выше 2%.

На рис. 11 показано более подробно сравнение динамики изменения радиального сечения ограниченной ГГ-моды и ОГГ-пучка на расстояниях от  $z=500$  мм до  $z=2000$  мм.

	$z=1000$ мм	$z=2000$ мм	$z=5000$ мм	$z=10000$ мм
<i>ГГ-мода (<math>\gamma, n</math>): (-10, 4)</i>				
Аналитика, ф. (8)				
Пр. Ханкеля, ф. (11)				
$\delta, \%$	16,2	18,8	30,7	33,4
<i>ОГГ-пучок (<math>\gamma, n, m</math>): (-10, 4, -1)</i>				
Аналитика, ф. (2)				
Пр. Ханкеля, ф. (11)				
$\delta, \%$	1,6	0,3	0,08	0,15

Рис 10. Сравнение распространения ОГГ-пучков и ГГ-мод: аналитические и численные результаты

Из рисунка 11 хорошо видно, что ГГ-моды даже в случае ограничения апертурой значительно дольше сохраняют свою структуру, чем ОГГ-пучки.

Однако в отличие от ГГ-мод ОГГ-пучки имеют на один параметр больше, что дает больше свободы при формировании различных типов сингулярных пучков.

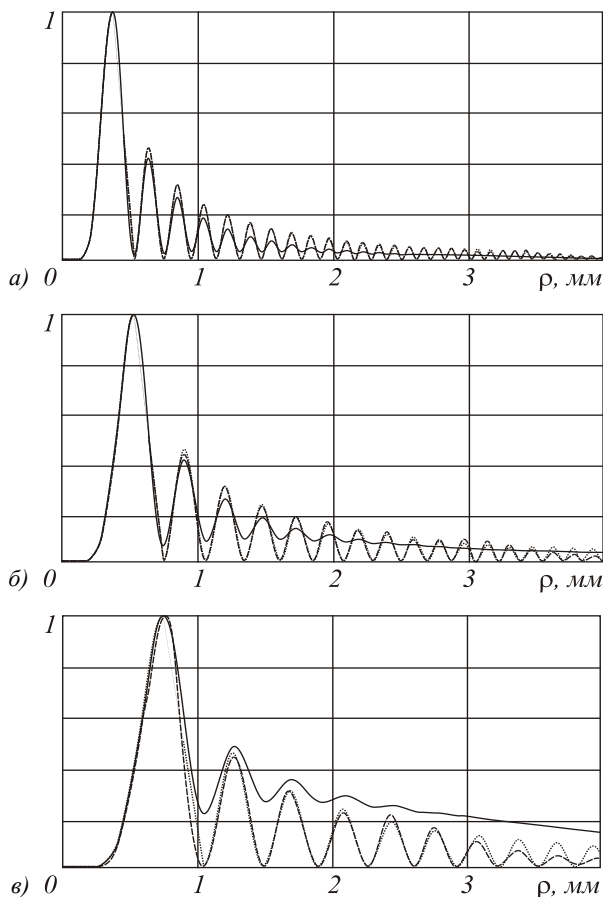


Рис. 11. Радиальное сечение интенсивности для ГГ-моды  $(\gamma, n) = (-10, 4)$  (точечная линия – аналитическое решение, пунктирная – преобразование Ханкеля) и ОГГ-пучка  $(\gamma, n, m) = (-10, 4, -1)$  (сплошная линия) на расстоянии вдоль оси распространения  $z = 500$  мм (а),  $z = 1000$  мм (б),  $z = 2000$  мм (в)

На рис. 12 показаны примеры ОГГ-пучков с различными значениями параметра  $m$  на расстоянии  $z = 1000$  мм:  $(\gamma, n, m) = (-10, 4, -2)$ ,  $(-10, 4, -1)$ ,  $(-10, 4, 0)$ ,  $(-10, 4, 2)$ .

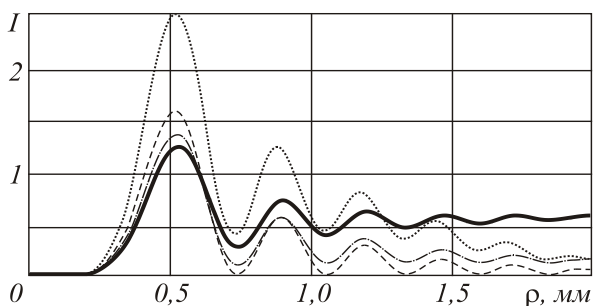


Рис. 12. Радиальное сечение интенсивности для ОГГ-пучка на расстоянии вдоль оси распространения  $z = 100$  мм для  $(\gamma, n, m)$ :  $(-10, 4, -2)$  – сплошная линия,  $(-10, 4, -1)$  – штрих-пунктирная линия,  $(-10, 4, 0)$  – пунктирная линия,  $(-10, 4, 2)$  – точечная линия

Из рис. 12 видно, что с увеличением значения параметра  $m$  энергия пучка все больше концентрируется в центральной части (рост центрального кольца не совсем корректно отражает динамику

этой концентрации, так как входное поле по энергии не нормировалось).

### Заключение

В заключении кратко сформулируем полученные результаты.

- Показана возможность аппроксимации ГГ-мод их ограниченными аналогами с точностью 5-12% до некоторого расстояния.
- Получена аналитическая формула при небольших значениях входной апертуры для оценки расстояния, на котором сохраняется четко выраженное центральное кольцо моды.
- Отмечено, что ГГ-моды, имеющие противоположные знаки параметра  $\gamma$ , имеют различные диаметры центральных колец в зоне дифракции Френеля, которые, однако, в дальней зоне дифракции становятся совершенно одинаковыми.
- Обобщенные ГГ-пучки, согласованные с параметрами ГГ-мод, сохраняют свою структуру на значительно меньшем расстоянии. Однако дополнительный параметр  $m$  позволяет варьировать концентрацию энергии таких пучков в центральной части.

### Благодарности

Работа выполнена при частичной финансовой поддержке российско-американской программы «Фундаментальные исследования и высшее образование» (грант CRDF RUX0-014-Sa-06), грантов РФФИ №№ 07-07-97600, 08-07-99007 и гранта Президента РФ по поддержке ведущих научных школ (НШ-3086.2008.9).

### Литература

1. **Kotlyar V.V.**, "Hypergeometric modes," / V.V. Kotlyar [and other] // Opt. Lett. 32, p.742-744 (2007)
2. **Karimi E.**, "Hypergeometric-Gaussian modes," / E. Karimi, // Opt. Lett. 32, 3053-3055 (2007)
3. **Kotlyar, V.V.** Family of hypergeometric laser beams / V.V. Kotlyar, A.A. Kovalev // J. Opt. Soc. Am. A 25, 262-270 (2008)
4. **He, H.** Optical particle trapping with higher order doughnut beams produced using high efficiency computer generated phase holograms / H. He, N. R. Heckenberg, H. Rubinsztein-Dunlop // J. Mod. Opt. 1995. V. 42, No. 1. P. 217-223.
5. **Gahagan, K. T.** Optical vortex trapping of particles / K. T. Gahagan, G. A. Swartzlander // Opt. Letters. 1996. V. 21, No. 11. P. 827-829.
6. **Arlt, J.** Optical micromanipulation using a Bessel light beams / J. Arlt [and other] // Opt. Comm. 2001. V. 197. P. 239-245.
7. **Khonina, S.N.** Rotation of microparticles with Bessel beams generated by diffractive elements, / S.N. Khonina [and other] // Journal of Modern optics, 51(14), P.2167-2184 (2004)
8. **Скиданов, Р.В.** Расчет силы, действующей на сферический микрообъект в гипергеометрических пучках / Р.В. Скиданов [и другие] // Компьютерная оптика, 32(1), С.39-44 (2008)

9. **Ковалев, А.А.** Параксиальные гипергеометрические лазерные пучки с особенностью в центре перетяжки./ А.А. Ковалев [и другие] // Компьютерная оптика, 31(1), С.9-13 (2007)
10. Справочник по специальным функциям / под ред. М. Абрамовица, И. Стигана // – М.: Наука, 1979.
11. **Rozas, D.** Propagation dynamics of optical vortices / D. Rozas, C. T. Law, G. A. Swartzlander //J. Opt. Soc. Am. B 14, P.3054-3065 (1997)
12. **Kotlyar, V. V.** Generation of phase singularity through diffracting a plane or Gaussian beam by a spiral phase plate / V. V. Kotlyar [and other] // J. Opt. Soc. Am. A 22, 849-861 (2005)
13. **Котляр, В.В.** Оптические чистые вихри и гипергеометрические моды, / В.В. Котляр [и другие] //Компьютерная оптика, 27, С.21-28 (2005)
14. **Балалаев, С.А.** Сравнение свойств гипергеометрических мод и мод Бесселя, / С.А. Балалаев, С.Н. Хонина //Компьютерная оптика, 31(4), С.23-28 (2007)
15. **Балалаев, С.А.** Расчет гипергеометрических мод / С.А. Балалаев, С.Н. Хонина, В.В. Котляр // Известия Самарского научного центра РАН, 9(3), С.584-591 (2007).

## EXAMINATION OF BOUNDED HYPERGEOMETRIC LASER BEAMS PROPERTIES

S.N. Khonina<sup>1,2</sup>, S.A. Balalaev<sup>2</sup>

<sup>1</sup>Image Processing Systems Institute of the Russian Academy of Sciences, Samara, Russia,

<sup>2</sup>S.P. Korolyov Samara State Aerospace University, Samara, Russia

### Abstract

A numerical simulation of bounded generalized hypergeometric laser beams propagation is conducted. We discussed the possibility of hypergeometric beams generation by means of diffractive optics. A comparative analysis of bounded hypergeometric modes and generalized hypergeometric beams is accomplish.

**Keywords:** generalized hypergeometric beam, hypergeometric mode, diffractive optical element.

**Citation:** Khonina SN, Balalaev SA. examination of bounded hypergeometric laser beams properties. Computer Optics 2008; 32(3): 226-33.

**Acknowledgements:** This work was supported in part by the Russian-American program "Fundamental researches and higher image-tion" (grant CRDF RUX0-014-Sa-06), RFBR grants №№ 07-07-97600, 08-07-99007 and Grant Pre- the Russian President in support of leading scientific schools (NSH-3086.2008.9).

### References

- [1] Kotlyar VV, Skidanov RV, Khonina SN, Soifer VA. Hypergeometric modes. Optics Letters 2007; 32(7): 742-744.
- [2] Karimi E. Hypergeometric-Gaussian modes. Opt. Lett. 2007; 32: 3053-3055.
- [3] Kotlyar VV, Kovalev AA. Family of hypergeometric laser beams. J. Opt. Soc. Am. A 2008; 25(1): 262-270.
- [4] He H, Heckenberg NR, Rubinsztein-Dunlop H. Optical particle trapping with higher order doughnut beams produced using high efficiency computer generated phase holograms. J. Mod. Opt. 1995; 42(1): 217-223.
- [5] Gahagan KT, Swartzlander GA. Optical vortex trapping of particles. Opt. Letters 1996; 21(11): 827-829.
- [6] Arlt J. Optical micromanipulation using a Bessel light beams. Opt. Comm. 2001; 197: 239-245.
- [7] Khonina SN, Kotlyar VV, Skidanov RV, Soifer VA, Jefimovs K, Simonen J, Turunen J. Rotation of microparticles with Bessel beams generated by diffractive elements. Journal of Modern Optics 2004; 51(14): 2167– 2184.
- [8] Skidanov RV, Khonina SN, Morozov AA, Kotlyar VV. Calculating forces acting upon a spherical microobject in hypergeometric beams [In Russian]. Computer Optics 2008; 32(1): 39-42.
- [9] Kovalev AA, Kotlyar VV, Khonina SN, Soifer VA. Paraxial hypergeometric laser beams with singularity at the center of the waist [In Russian]. Computer Optics 2007; 31(1): C.9-13.
- [10] Abramovitz M, Stegun IA, eds. Handbook of Mathematical Functions [In Russian]. Moscow: "Nauka" (Science) Publisher; 1979.
- [11] Rozas D, Law CT, Swartzlander GA. Propagation dynamics of optical vortices. J. Opt. Soc. Am. B 1997; 14: 3054-3065.
- [12] Kotlyar VV, Almazov AA, Khonina SN, Soifer VA, Elfstrom H., Turunen, J. Generation of phase singularity through diffracting a plane or Gaussian beam by a spiral phase plate. J. Opt. Soc. Am. A 2005; 22(5): 849-861.
- [13] Kotlyar VV, Khonina SN, Almazov AA, Soifer VA. Optical pure vortices and hypergeometrical modes [In Russian]. Computer Optics 2005; 27: 21-28.
- [14] Balalaev SA, Khonina SN. Comparing properties of hypergeometrical modes and Bessel modes [In Russian]. Computer Optics 2007; 31(4): 23-28.
- [15] Balalaev SA, Khonina SN, Kotlyar VV. Calculation of hiper-geometrical modes [In Russian]. Proceedings of Samara Scientific Center of the RAS 2007; 9(3): 584-591.